ТЕОРЕТИЧЕСКАЯ И МАТЕМАТИЧЕСКАЯ ФИЗИКА

УДК 539.12

КАЛИБРОВОЧНАЯ МОДЕЛЬ В ТЕОРИИ СУПЕРСТРУН

А. А. Вихорев, Б. И. Садовников

(кафедра квантовой статистики и теории поля)

Предложена калибровочная модель суперструны, обладающей свойством самоподобия. С помощью регулярного представления группы движений спинорного многообразия и ее алгебры Ли получены уравнения для функцки состояния и оператор Гамильтона. Решается самосогласованная краевая задача на собственные значения для построенного оператора Гамильтона. Найдены энергетическике уровни, отвечающие относительному спектру масс заряженных лептонов e^{\pm} , μ^{\pm} , τ^{\pm} . Обнаружена возможная причина существования трех поколений элементарных фермионов.

В последние годы на основе ряда обобщающих исследований теории суперструн [1—5] была обоснована принципиальная возможность соединения понятия струны с теорией калибровочных полей и, как следствие, с топологическими свойствами пространства, возникающего в струнной теории. Именно тогда был предсказан новый класс суперсимметричных теорий Янга—Миллса [6], в которых калибровочное поле играет роль векторных переменных струны, связанных со спинорными переменными преобразованием суперсимметрии. Однако наиболее многозначным остается вопрос о конкретной взаимосвязи между самой струной и несомыми ею полями. Нашей целью является построение модели, в которой струны отождествляются с замкнутыми 1-цепями спинорного пространства, являющегося областью определения калибровочного поля и, следовательно, имеющего нетривиальную топологию.

Пространство в теории суперструн, как известно, является нераздельным комплексом спинорных и векторных (тензорных) величин. Бинарность вектор—спинор существенно асимметрична; спинорное пространство оказывается более фундаментальным объектом по сравнению с векторным [4]. Например, любая дифференциальная k-форма, заданная в спинорном пространстве, и ее интегралы по k-цепям обладают трансформационными свойствами тензорных величин.

Предлагаемая калибровочная модель суперструны основана на

следующих положениях.

1. Мировая поверхность струны вложена в спинорное пространство C^D , которое в общем случае является гладким комплексным многообразием с критической размерностью D. Струна отождествляется с 1-

ценью в пространстве C^D .

2. В спинорном пространстве C^D задана некоторая функция состояния: $\Phi(\theta, \sigma, \tau)$, $(\theta \in C^D$; $\sigma, \tau \in M^2)$, принадлежащая классу почти везде непрерывных и дифференцируемых функций и одновременно являющаяся элементом пространства представления калибровочной группы G. Таким образом, в пространстве C^D задана дифференциальная 1-форма калибровочной связности $\hat{A}(\theta) \in t(g)$, где t(g) — представление алгебры Ли g группы G. Векторные величины вводятся в модель как интегралы 1-формы $\hat{A}(\theta)$ по замкнутым 1-цепям, которые отождествляются со струнами:

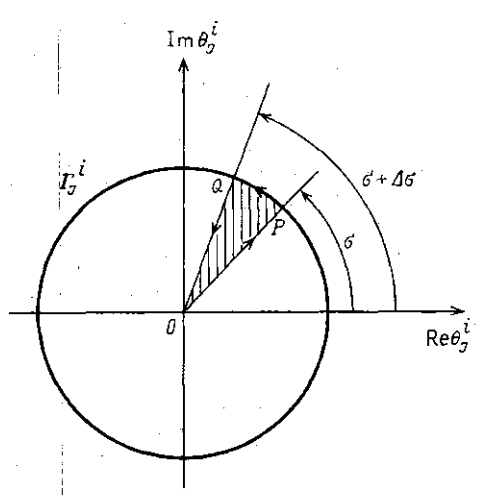
$$\widehat{\widehat{X}}_{J}(\sigma, \tau) = \sum_{i=1}^{d} \lim_{\|\delta \Gamma_{J}^{i}\| \to 0} \frac{1}{\|\delta \Gamma_{J}^{i}(\sigma, \tau)\|} \oint_{\delta \Gamma_{J}^{i}(\sigma, \tau)} \widehat{A}_{J}(\theta; \tau),$$

где

$$||\delta\Gamma_J^i|| \triangleq \frac{i}{2} \int\limits_{\delta C_J^i} d\overline{\theta}_J^i \bigwedge d\theta_J^i, \ \delta C_J^i \triangleq \int \delta \Gamma_J^i,$$

площадь 2-цепи $\delta C_J^i(\sigma,\tau)$, ограниченной 1-цепью $\delta \Gamma_J^i(\sigma,\tau)$ и лежащей в комплексной плоскости координаты θ_J^i пространства $C_J^d \subset C^D$ (рисунок). Здесь $\mathcal{X}_J(\sigma,\tau) = \widehat{\lambda}_a X_J^a$, где $\{\widehat{\lambda}_a\}$ — базис представления $\mathbf{t}(g)$, σ,τ —

координаты на мировой поверхности струны.



Спинорное пространство C^E (D=10) распадается в прямую сумму пяти так называемых структурных подпространств C_I^d (d=2), индентифицируемых индексом J=0, 1, 2, 3, 4. В дальнейшем индексы i, k, l=1, 2 — это

Замкнутый путь OPQ есть 1-цепь $\delta\Gamma_I(\sigma, \tau)$, по которой интегрируется 1-форма калибровочной связности $\widehat{A}(\theta, \tau)$ при вычислении генератора $\widehat{X}_I(\sigma, \tau)$. Окружность Γ_I представляет собой элемент остова Γ_J соответствующего бикруга. В пределе $\|\delta\Gamma^I_I\| \rightarrow 0$ сектор OPQ стягивается в отрезок при сближении точек Q, P на окружности Γ^I_I . Штриховкой изображена 2-цепь $\delta C_I^I(\sigma, \tau)$

индексы комплексных координат структурного подпространства. Калибровочная группа $G = [U(1) \cup SU(2)] \otimes [U(1) \cup SU(2)]$, базис представления $\mathbf{t}(g)$ алгебры Ли g этой группы имеет вид

$$\widehat{\lambda}_a = \begin{pmatrix} \tau_a & 0 \\ 0 & -\tau_a \end{pmatrix}, \ a = 0, \ 1, \ 2, \ 3,$$

где τ_0 — единичная матрица, τ_1 , τ_2 , τ_3 — матрицы Паули. Диагональными являются операторы $\{\widehat{\lambda}_a\} = \{\widehat{\lambda}_0, \ \widehat{\lambda}_3\}$. Диагональные операторы обособляются в связи с принципиальной возможностью перехода к выделенной жалибровке, в которой 2-форма калибровочного поля имеет вид $\mathcal{F}_J = \widehat{\lambda}_a F_J^a$.

3. Внутренние области мировых поверхностей замкнутых струн совпадают с носителем $\sup \mathcal{F}$ 2-формы калибровочного поля:

$$\mathcal{F} = \hat{a}\hat{A} + [\hat{A} \wedge \hat{A}]/2.$$

Благодаря данной предпосылке мировые поверхности замкнутых струн становятся поверхностями, ограничивающими поток калибровочного поля, поток формы \mathcal{F} , и, следовательно, приобретают свойства топологически нетривиальных объектов. При обходе по замкнутому пути, охватывающему такую поверхность, функция состояния $\Phi(\theta, \sigma, \tau)$, принадлежащая пространству представления калибровочной группы, в об-

щем случае не возвращается к исходному значению и оказывается многозначной. Требование однозначности функции состояния немедленно приводит к целочисленности потоков соответствующих компонент поля **F** [7].

4. Действие теории суперструн в данной модели следующее:

$$S = -\int d^2\sigma \delta^{JK} \delta_{ab} \{ T \partial^{\alpha} \overline{Z}_{J}^{\dot{a}} \partial_{\alpha} Z_{K}^{\dot{b}} + \frac{i}{2} \overline{\Psi}_{J}^{\dot{a}} \gamma_{\alpha} \partial^{\alpha} \Psi_{K}^{\dot{b}} \}, \tag{1}$$

тле

$$\Psi^{\dot{a}}_{J\pm} = \psi^{\dot{a}}_{J_1\pm} + i\psi^{\dot{a}}_{J_2\pm}, \quad Z^{\dot{a}}_{J} = X^{\dot{a}}_{J_1} + iX^{\dot{a}}_{J_2},$$

 \dot{a} , \dot{b} — индексы соответствующих диагональных операторов представления $\mathbf{t}(g)$, \mathbf{J} , \mathbf{K} — индексы, нумерующие пары структурных подпространств и принимающие два значения, α , β — индексы координат мировой поверхности струны, T — масштабная постоянная, имеющая размерность квадрата длины (или обратного квадрата массы), γ_{α} — двумерные матрицы Дирака [6].

Действие (1) рассматривается как действие, описывающее совместные изменения геометрической конфигурации замкнутых струн и калибровочного поля \mathcal{F} . При этом спинорные переменные определяются

через радиусы струн $o_i^i(\sigma, \tau)$:

$$\begin{pmatrix} \psi_{J+}^{\dot{a}} \\ \psi_{J-}^{\dot{a}} \end{pmatrix} \equiv \begin{pmatrix} \partial/\partial\sigma_{+} \{ E_{I}^{\dot{a}} \rho_{J}^{l} (\sigma, \tau) \} \\ \partial/\partial\sigma_{-} \{ E_{I}^{\dot{a}} \rho_{J}^{l} (\sigma, \tau) \} \end{pmatrix}, \quad \sigma_{\pm} = \tau \pm \sigma, \quad E_{I}^{\dot{a}} = \text{const},$$
 (2)

и описывают возмущения геометрической конфигурации замкнутых струн, а векторные переменные X_J^a (σ , τ) описывают величину и динамику калибровочного поля \mathcal{F} .

Преобразование суперсимметрии

$$\delta Z_{\mathbf{J}}^{\dot{a}} = i\bar{\varepsilon} \Psi_{\mathbf{J}}^{\dot{a}}, \ \delta \Psi_{\mathbf{J}}^{\dot{a}} = T \gamma_{\alpha} \varepsilon \partial^{\alpha} Z_{\mathbf{J}}^{\dot{a}}$$

$$\tag{3}$$

приобретает в данной интерпретации динамический смысл, а именно: полагая, что инфинитезимальный спинор в задает малое смещение на мировой поверхности струны, т. е.

$$\bar{\varepsilon} = -i\mathcal{H}(d\sigma_+, d\sigma_-), \quad \mathcal{H} = \text{const},$$
 (4)

получим из преобразований суперсимметрии (3) с учетом соотношений (2) закон самоподобия исследуемой системы:

$$Z_{\mathbf{J}}^{\dot{a}} = \mathcal{K} E_{l}^{\dot{a}} (\rho_{J_{1}}^{l} + i \rho_{J_{2}}^{l}) + E_{l}^{\dot{a}} (m_{J_{1}}^{l} + i m_{J_{2}}^{l}), \ m_{J}^{l} = \text{const.}$$

Таким образом, геометрические размеры замкнутых струн (радиусы ρ_J^I) и определенное внутри их мировых поверхностей калибровочное поле ${\mathscr F}$ изменяются самоподобно, т. е. величина ${\mathscr F}$ изменяется прямо пропорционально радиусу струны. Факт самоподобия — прямое следствие суперсимметрии действия.

5. Далее в модели строится регулярное представление [8—10] разрешимой алгебры Ли группы движений структурного подпространства C_{2} . Дифференциальные операторы регулярного представления (индекс

J будем опускать):

$$c_{+} = \partial/\partial \bar{z}_{2} + (\hat{s}_{2}/\bar{z}_{2} - z_{1})/2, \quad p_{+} = \partial/\partial z_{2} - (\hat{s}_{2}/z_{2} - \bar{z}_{1})/2,$$

$$\begin{aligned} \mathbf{c}_{-} &= \partial/\partial z_{1} - (\widehat{s}_{1}/z_{1} - \overline{z}_{2})/2, & \mathbf{p}_{-} &= \partial/\partial \overline{z}_{1} + (\widehat{s}_{1}/\overline{z}_{1} - \overline{z}_{2})/2, \\ \mathbf{d}_{+} &= \partial/\partial \overline{z}_{1} + (\widehat{s}_{1}/\overline{z}_{1} + \overline{z}_{2})/2, & \mathbf{q}_{+} &= \partial/\partial \overline{z}_{1} - (\widehat{s}_{1}/\overline{z}_{1} + \overline{z}_{2})/2, \\ \mathbf{d}_{-} &= \partial/\partial \overline{z}_{2} - (\widehat{s}_{2}/\overline{z}_{2} + \overline{z}_{1})/2, & \mathbf{q}_{-} &= \partial/\partial \overline{z}_{2} + (\widehat{s}_{2}/\overline{z}_{2} + \overline{z}_{1})/2, \end{aligned}$$
 где

$$\widehat{s_{i}} = \frac{1}{2} \int \widehat{F}_{i\,\overline{i}} d\theta^{i} \wedge \overline{d}\theta^{i}, \tag{5}$$

$$[\hat{s}_l, \hat{s}_k] = 0, \quad z_l = T^{-\frac{1}{4}} \theta_l, \quad l, \ k = 1, 2,$$

образуют лестничную алгебру повышающих и понижающих операторов, которые действуют в гильбертовом пространстве функций состояния. При этом функции, отвечающие стационарным состояниям, являются собственными функциями операторов чисел заполнения вида

$$N_{R}{=}a^{+}a, \ N_{L}{=}b^{+}b,$$
 The

$$a^{+}=c_{+}d_{+}, \quad a=c_{-}d_{-}, \quad b^{+}=p_{+}q_{+}, \quad b=p_{-}q_{-}.$$

Указанные дифференциальные операторы понимаются как операторы рождения и уничтожения форм движения исследуемой системы. Формы движения описываются функцией состояния $\Phi(\theta,\sigma,\tau)$, удовлетворяющей определенной краевой задаче:

$$a^{+}a\Phi_{R}(\theta; \sigma, \tau) = i\sqrt{T}\partial/\partial\sigma_{+}\Phi_{R}(\theta; \sigma, \tau),$$

$$b^{+}b\Phi_{L}(\theta; \sigma, \tau) = i\sqrt{T}\partial/\partial\sigma_{-}\Phi_{L}(\theta; \sigma, \tau).$$
(6)

На мировой поверхности $SW(\Gamma)$ замкнутых струн Γ^1 , Γ^2 , локализованных в пространстве C^2

$$C^2 \cap SW(\Gamma) = \{z \in C^2 : z_t = w_t \exp(i\zeta\sigma), \xi = \text{const}, t=1, 2\}$$

(здесь $w_l = T^{-1/4} \rho^l$ — безразмерные радиусы струн), заданы граничные условия:

$$a^+\Phi_R|_{SW(\Gamma)}=0, \quad b^+\Phi_L|_{SW(\Gamma)}=0.$$
 (7)

Следовательно, геометрическая конфигурация струн не может быть произвольной, а с учетом того, что от указанной конфигурации зависит величина калибровочной связности $\hat{A}(\theta)$, влияющей в свою очередь на функцию состояния, мы получаем самосогласованную краевую задачу. Таким образом, геометрические параметры системы (радиусы замкнутых струн), наряду с собственными значениями операторов чисел заполнения, могут принимать только определенные дискретные значения.

6. На предпоследнем этапе вводится оператор Гамильтона:

$$\widehat{H}_{J} \equiv V \overline{\delta_{a_{b}} X_{J}^{a} X_{J}^{b}} \operatorname{Sp} \mathscr{N} \exp \begin{pmatrix} a_{J}^{+} a_{J} & 0 \\ 0 & b_{J}^{+} b_{J} \end{pmatrix}, J = 1, 2, 3, 4,$$
(8)

действующий в гильбертовом пространстве функций состояния и содержащий инварианты калибровочного поля и операторы чисел заполнения [11]. На этом этапе получено конкретное численное решение вышеупомянутой краевой задачи на собственные значения для урав-

нений (6) и построенного таким образом оператора Гамильтона. Найдены энергетические уровни, отвечающие относительным массам покоя заряженных лептонов e^{\pm} , μ^{\pm} , τ^{\pm} . Проведено сравнение с экспериментальными значениями. Отклонение теоретического значения относительной (т. е. выраженной в единицах массы электрона) массы мюона от ее экспериментального значения составляет —0,005%, аналогичное отклонение теоретической массы τ -лептона не превышает экспериментальной погрешности измерений и составляет $\pm 0,07\%$. Кроме того, модель показывает, что существование трех поколений элементарных фермионов оказывается связанным с разрешимостью системы уравнений, выражающих упомянутые выше граничные условия (7) для функции состояния и условия целочисленности потоков калибровочного поля, т. е. собственные числа s_l (*) матриц \hat{s}_l , определенных формулами (5), должны быть целыми.

Отметим, что исследование модели было проведено без учета возможных взаимосвязанных колебаний калибровочного поля и радиусов замкнутых струн (или радиусов бикруга). Классический вариант двумерной теории суперструн мы получим при описании указанных колебаний.

7. Четырехмерное векторное пространство Минковского отождествляется с фундаментальной группой спинорного пространства [7]. Данная гипотеза основана на топологических и трансформационных свойствах калибровочного поля, отвечающего группе $U(1) \cup SU(2)$ и входящего в оператор Гамильтона в виде инвариантов — топологических чисел Эйлера и Понтрягина.

Синтезированная таким образом суперструна, являющаяся моделью элементарного фермиона, представляет собой комплекс топологически нетривиальных протяженных каналов, существующих в спинорном пространстве. Калибровочное поле в C^D дает возможность ввести исчисление на множестве замкнутых 1-цепей, иными словами, можно построить регулярное представление алгебры Ли фундаментальной группы спинорного пространства. Тогда в каждом структурном подпространстве C_I^2 операторы регулярного представления этой алгебры могут быть интерпретированы как квантовомеханические операторы энергии-импульса.

Заключение

Предложенная калибровочная модель суперструны позволяет теоретически рассчитать относительный спектр масс заряженных лептонов e^\pm , μ^\pm , τ^\pm без использования каких-либо подгоночных параметров. Экспериментальные значения относительных масс заряженных лептонов находятся в хорошем согласии с предсказанными теоретически. При этом для состояний, соответствующих нейтрино v_e , v_e , v_μ , v_τ , v_τ , модель предсказывает нулевую массу покоя, но отличную от нуля полную энергию. Таким образом, мы имеем количественную и качественную классификационную схему всех элементарных фермионов с электрослабым взаимодействием.

Исследование этой модели привело к возникновению еще одной возможной интерпретации преобразований суперсимметрии. Синтезированная в модели конфигурация калибровочного поля имеет упорядоченную коаксиальную структуру, которой обладают внутренние области мировых поверхностей замкнутых струн. Данные мировые поверхности представляют собой множество топологически нетривиальных протяженных каналов, существующих в спинорном пространстве.

Благодаря последнему обстоятельству, а также топологическим и трансформационным свойствам калибровочного поля группы $U(1) \cup$ ||SU(2)|| возникает концептуальная основа для введения векторного пространства Минковского как представления фундаментальной группы спинорного проегранства. Обнаружены перспективы более глубокого исследования с целью описания свойств и характеристик элементарных фермионов.

Авторы выражают благодарность участникам научного семинара кафедры теоретической физики за полезное обсуждение, ценные сове-

ты и замечания.

ЛИТЕРАТУРА

Gervais J. L., Sakita B.//Nucl. Phys. 1971. B 34. P. 632.
 Aharonov Y., Casher A., Susskind L.//Phys. Lett. 1971. 35B. P. 512.
 Howe P. S.//Phys. Lett. 1977. 70B. P. 453.

- 3. Но we Р. S.//Phys. Lett. 1977. 70B. Р. 453.
 4. Пенроуз Р., Риндлер В. Спиноры и пространство-время. Т. 1. М., 1987.
 5. Магтіпес Е.//Phys. Rev. 1983. D28. Р. 2604.
 6. Грин М., Шварц Дж., Виттен Э. Теория суперструн. Т. 1, 2. М., 1990.
 7. Шварц А. С. Квантовая теория поля и топология. М., 1989.
 8. Виленкин Н. Я. Специальные функции и теория представлений групп. М., 1991.
 9. Фаддеев Л. Д., Корелин В. Е.//ТМФ. 1975. 25. С. 147.
 10. Розенблюм А. В., Розенблюм Л. В.//Дифф. уравнения. 1986. 22, № 11. C. 1961.
- 11. Боголюбов Н. Н., Садовников Б. И., Шумовский А. С. Математические методы статистической механики модельных систем. М., 1989.

Поступила в редакцию 27.12.95

ВЕСТН. МОСК. УН-ТА. СЕР. 3, ФИЗИКА. АСТРОНОМИЯ. 1996. № 5

УДК 519.6:517.958

- НЕКОТОРЫХ ПОСТАНОВКАХ ЗАДАЧИ термоэлектрического ОХЛАЖДЕНИЯ
- В. Б. Гласко, Ю. В. Гласко, А. В. Щепетилов

(кафедра математики)

- В рамках известной термодинамической модели эффекта Пельтье рассмотрены две новые математические постановки задачи термоэлектрического охлаждения, алгоритмы решения которых реализованы в ЭВМ-программах. Приведены результаты математического эксперимента.
- 1. Фундаментальный термодинамический анализ эффекта Пельтье был проведен еще в работах [1-3], где сформулированы математические модели для его использования в прикладных целях. В работе [2], в частности, рассматривались задачи о максимизации двух следующих величин: а) коэффициента охлаждения $\varepsilon = Q/W$, где Q — количество поглощаемого тепла, а W — необходимая для этого мощность электрического тока; б) разности ΔT между температурами «горячего» и «холодного» спаев термоэлемента, каждая из которых является функцией тока и геометрических параметров системы. Как было показано, эти задачи противоречивы (максимальное значение ΔT соответствует значению €=0). Для повышения эффективности устройства было рекомендовано использование «каскадов» термоэлементов и показано, что практически ощутимый эффект дает лишь двухуровневый каскад.